

УДК 537.312.62

З. Г. ИВАНОВ, О. В. СНИГИРЕВ, Е. С. СОЛДАТОВ,
Ю. В. МАСЛЕННИКОВ, А. В. ЧЕРВЯКОВ, В. Л. ГОЛУБЕВ

ИССЛЕДОВАНИЕ ДЖОЗЕФСОНОВСКИХ СЭНДВИЧЕЙ С ПРОСЛОЙКОЙ ИЗ ВИСМУТА

Исследованы джозефсоновские сэндвичи типа SNS с прослойкой из висмута. Измерена длина когерентности в тонких пленках висмута, оказавшаяся равной $30 \pm 10 \text{ нм}$, что значительно меньше полученной ранее оценки. Показано, что при правильном выборе материалов сверхпроводящих электродов могут быть реализованы джозефсоновские переходы, имеющие значения характерного напряжения порядка 1 мв и нормального сопротивления порядка 1 ом при площади 1 мкм^2 .

Введение

Джозефсоновские переходы типа сэндвича SNS , в которых слабая связь [1] между двумя сверхпроводящими электродами S создается вследствие разделения их достаточно тонкой прослойкой нормального металла N , впервые были получены в 1969 г. [2]. Значения характерного джозефсоновского напряжения V_c и нормального сопротивления R для этих структур оказались очень малыми ($V_c \ll 10^{-7} \text{ в}; R \ll 10^{-5} \text{ ом}$), поэтому с точки зрения возможных приложений они не вызвали интереса.

Несколько позднее были получены сэндвичи SN^*S , в которых в качестве прослойки использовался сильно легированный полупроводник [3, 4], близкий по своим характеристикам к нормальному металлу. Высокие значения электрофизических параметров этих сэндвичей ($V_c \geq 1 \text{ мв}; R \sim 1 \text{ ом}$) и безистерезисная вольт-амперная характеристика (ВАХ) сразу сделали эти структуры одним из наиболее перспективных типов джозефсоновских элементов. Однако технология получения таких структур требует достаточно жесткого контроля уровня легирования материала прослойки.

Примерно в это же время в теоретических работах [5–7] было показано, что столь же высокие значения параметров джозефсоновской структуры могут быть получены и в «грязных» SNS сэндвичах с резкой SN границей при значениях температуры T , не слишком близких к критической температуре электродов. Для этого толщина прослойки d должна удовлетворять двум условиям

$$\kappa \ll d/\xi \ll 1. \quad (1)$$

В этом выражении κ — параметр, характеризующий степень подавления сверхпроводящих свойств сверхпроводника на границе с N слоем по сравнению с равновесным значением в глубине S электродов:

$$\kappa = \frac{\sigma}{\sigma_s} \frac{\xi_s}{\xi}. \quad (2)$$

Величины σ_s , σ и ξ_s , ξ — остаточные проводимости и длины когерентности S и N слоев.

Из выражения (1) следует, что наиболее подходящими для прослойки являются материалы с малыми значениями σ и относительно большими значениями ξ .

1. Висмут как возможный материал прослойки

Анализ известных данных о величинах σ и ξ показывает, что аномально низкое значение σ имеет Bi в тонких пленках, где остаточное значение $\sigma \approx 5 \cdot 10^2$ ($\text{ом} \cdot \text{см}$) $^{-1}$ [8]. При этом по оценкам, сделанным в работе [9], Bi имеет достаточно большое значение $\xi \approx 170$ нм.

Такие значения σ и ξ позволяли надеяться на получение SNS сэндвичей с прослойкой из Bi, имеющих значения характерных джозефсоновских параметров V_c и R того же порядка, что и в работах [3,4], при существенно облегченной технологии. Действительно, сочетание Bi с практически любым сверхпроводящим материалом позволяет получить значения $\kappa \sim 10^{-2}$, а при приведенных выше значениях ξ можно получить отношение $d/\xi \leq 1$ с вполне реалистическими значениями $d \sim 100$ нм.

Понятно, что условия (1) носят лишь необходимый характер, и при создании реальной джозефсоновской структуры важную роль играют многочисленные условия технологической совместимости материалов прослойки и электродов. Выяснить характер и выполнимость этих условий можно лишь экспериментальным путем.

Целью настоящей работы являлось определение свойств Bi как материала прослойки джозефсоновских структур типа сэндвича SNS.

2. Исследование SNS сэндвичей с прослойкой из висмута

2.1. SNS сэндвичи Pb—Bi—Pb

На первом этапе исследований были предприняты попытки изготовить SNS сэндвичи (рис. 1) последовательным термическим напылением слоев свинца, висмута и вновь свинца без разрыва вакуума на хорошо очищенную ситаловую подложку. Для предотвращения сплавления и взаимной диффузии S и N материалов подложка охлаждалась проточной водой. Исследуемые сэндвичи представляли собой две взаимно перпендикулярные полоски из пленок сверхпроводящих металлов шириной 0,1—0,2 мм и толщиной ~ 250 нм, разделенные диском (диаметром 3 мм) из Bi толщиной 80—300 нм. Формирование конфигурации электродов проводилось масками.

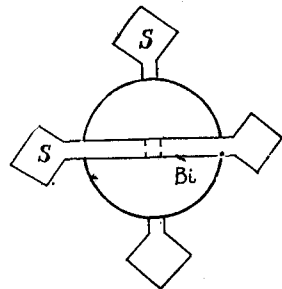


Рис. 1. Исследуемые SNS сэндвичи.

Результаты первых экспериментов показали, что в широкой области условий напыления (вакуума в камере и определенных скоростях конденсации пленок) в области перехода образуются сверхпроводящие закоротки (критический ток сэндвича равен критическому току электродов). В то же время контрольная пленка Bi, нанесенная на расположенную рядом подложку, имела остаточное удельное сопротивление $(2 \pm 0,3) \cdot 10^{-3}$ $\text{ом} \cdot \text{см}$ при толщине 300 нм, что совпадало с данными работы [9]. Таким образом, можно было предположить, что пленка Bi в области перехода претерпевает какие-то превращения либо в процессе ее напыления на нижний электрод, либо при нанесении верхнего электрода.

Проанализировав результаты более чем 50 экспериментов, мы пришли к выводу, что пары Bi, воздействуя на пленку нижнего электрода (Pb) с относительно низкой температурой плавления ($T_{\text{пл}} \sim 600$ К), вследствие недостаточного теплоотвода образуют в области перехода сверхпроводящий сплав Pb с Bi.

2.2. SNS сэндвичи, напыленные на охлаждаемую подложку

Во избежание сплавления пленок, нарушающего SN границу в сэндвичах, при изготовлении SNS структур было применено осаждение металлов на сильно охлажденную подложку (77 К). При нанесении пленок Bi со скоростями 0,3 нм/сек и более было обнаружено механическое разрушение пленок Bi в виде трещин шириной до 10 мкм, разделяющих «островки» Bi с линейными размерами около 100 мкм.

В результате проведенной серии экспериментов было установлено, что минимальная температура подложки, выше которой разрушения отсутствовали, равна 240 К. Это значение хорошо согласуется с данными о температуре рекристаллизации пленок висмута $T_p \approx 200$ К [10, с. 26]. В связи с этим разрушение пленок можно считать следствием внутренних напряжений, которые вызваны их рекристаллизацией, происходящей при отогреве пленок, напыленных при температуре подложки, меньшей T_p . К сожалению, температура ~ 240 К оказалась недостаточно низкой для устранения сплавления пленок во время напыления.

2.3. Сэндвичи Pb—Al—Bi—Al—Pb и Pb—Cu—Bi—Cu—Pb

После выяснения того, что формирование резких SN границ в SNS сэндвичах с электродами из мягких металлов является сложной задачей, была предпринята попытка изготовить структуры Pb—Al—Bi—Al—Pb и Pb—Cu—Bi—Cu—Pb, в которых пленки алюминия и меди играли роль буферного материала. По существующим данным [11, с. 205], Al и Cu не образуют твердых растворов с Bi и обладают хорошими транспортными свойствами: их длина когерентности составляет при 4,2 К примерно 500 нм для Al и 40 нм для Cu [12, 13, с. 207]. При толщине пленок такого же порядка эти металлы должны были предотвратить сплавление электродов и пролонгировать, не ухудшая при этом джозефсоновские свойства сэндвичей. Однако в последующих экспериментах обнаружилось отсутствие критического тока в таких структурах, а оже-спектрограмма образцов показала, что слой Al, надежно отделив Pb от Bi, частично проник в Bi так, что его концентрация составила около 20 ат. %.

Отсутствие критического тока в структурах можно было объяснить, во-первых, тем, что длина корреляции Bi могла сильно уменьшиться из-за примеси Al, и, во-вторых, тем, что величина ξ даже в чистых пленках Bi может быть существенно меньше, чем указано в работе [9].

3. Определение длины когерентности в пленках висмута

Для определения величины ξ в пленках Bi был выбран метод, основанный на измерении зависимости характерного джозефсоновского напряжения V_c от толщины d нормальной прослойки в SINS структурах, в которых один из сверхпроводящих электродов отделяется от нормального металла тонким слоем изолятора I . Как было показано в ряде работ (см., например, [14, 15]), зависимость $V_c(d)$ в SINS структурах имеет экспоненциальный характер:

$$V_c(d) \sim \exp(-d/\xi), \quad (3)$$

следовательно, измерение V_c для сэндвичей с разной толщиной прослоек позволяет непосредственно определить величину ξ .

В одном технологическом цикле изготавливались три образца: два сэндвича SINS с прослойкой из Bi и один туннельный переход SIS. Это позволяло контролировать воспроизводимость свойств сэндвичей, а также качество окисного слоя и влияние на него прослойки Bi.

Напыление производилось в промышленной установке УВН-2М при давлении $\sim 5 \cdot 10^{-6}$ тор. Скорость напыления нижнего электрода состав-

ляла ~ 15 нм/сек. Прослойка Bi и верхний электрод напылялись со значительно меньшей скоростью (~ 2 нм/сек) для уменьшения сплавления.

После изготовления первый сэндвич практически сразу (после 10-минутной подготовки при комнатной температуре) погружался в жидкий гелий и измерялись его характеристики, второй сэндвич и туннельный переход измерялись через 8—10 часов. Измеренные характеристики двух сэндвичей хорошо совпадали, что свидетельствовало о воспроизводимости структур и их стабильности во времени. Нормальное сопротивление трех переходов совпадало. Образцы обычно не переносили повторного термоциклирования до гелиевых температур.

3.1. Сэндвичи Pb—I—Bi—Pb

Первая серия SINS переходов была изготовлена на основе свинцовых электродов с толщиной прослойки висмута ~ 300 нм. Вольт-амперные характеристики (ВАХ) таких сэндвичей были аналогичны ВАХ переходов

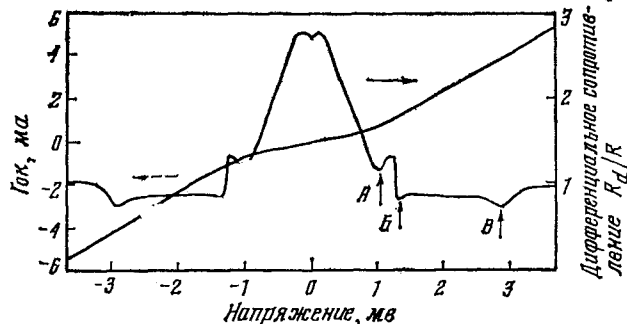


Рис. 2. ВАХ и $R_d(V)$ структуры Pb—I—Bi—Pb (образец C2), $d = (180 \pm 20)$ нм, $I_c = (100 \pm 10)$ мкА, $R = (0,65 \pm 0,05)$ ом. Щелевые особенности:

$$\begin{aligned} A - (\Delta_{\text{Pb}} - \Delta_{\text{Bi}})/e &\approx 1,1 \text{ мв;} \\ B - (\Delta_{\text{Pb}} + \Delta_{\text{Bi}})/e &\approx 1,4 \text{ мв;} \\ B' - (\Delta_{\text{Pb}} + \Delta_{\beta})/e &\approx 2,9 \text{ мв.} \end{aligned}$$

типа SIN с ясно выраженной щелевой особенностью при напряжении $V \approx \sim 1,2$ мв, что соответствует энергетической щели Pb. Сверхток через структуру отсутствовал. Этот результат свидетельствовал о том, что, во-первых, верхний электрод по крайней мере не полностью сплавился с Bi и, во-вторых, длина корреляции ξ действительно много меньше ожидаемой.

Для проверки этих утверждений при изготовлении следующих серий переходов толщина прослойки Bi последовательно уменьшалась. При $d \approx 180$ нм в структуре появился сверхток, ВАХ структуры имела туннельный характер с выраженным щелевыми особенностями при напряжениях $V \approx 1; 2$ и 2,9 мв (рис. 2). При снятии характеристик сверхток был подавлен магнитным полем.

В дальнейшем было проведено подробное исследование четырех серий сэндвичей с толщиной прослойки висмута 140; 120; 80 и 40 нм. Установлено, что с уменьшением толщины прослойки щелевые осо-

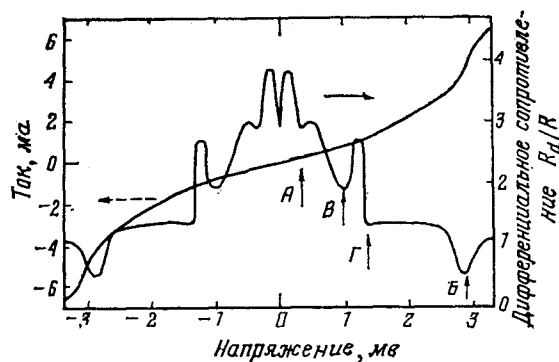


Рис. 3. ВАХ и $R_d(V)$ структуры Pb—I—Bi—Pb (образец C4), $d = (80 \pm 10)$ нм, $I_c = (1 \pm 0,05)$ мА, $R = (0,5 \pm 0,05)$ ом. Щелевые особенности:

$$\begin{aligned} A - (\Delta_{\beta} - \Delta_{\text{Pb}})/e &\approx 0,4 \text{ мв;} \\ B - (\Delta_{\text{Pb}} + \Delta_{\beta})/e &\approx 2,9 \text{ мв;} \\ \Gamma - (\Delta_{\text{Pb}} - \Delta_{\text{Bi}})/e &\approx 1 \text{ мв;} \\ (\Delta_{\text{Pb}} + \Delta_{\text{Bi}})/e &\approx 1,4 \text{ мв.} \end{aligned}$$

бенности имеют все более выраженный характер. Типичная одночастичная ВАХ и зависимость дифференциального сопротивления от напряжения для относительно тонкой прослойки показаны на рис. 3. Щелевые особенности при напряжениях $V \approx 0,4$ и $2,9$ мв можно объяснить лишь в предположении о частичном сплавлении Bi с верхним электродом, в результате чего образуется сверхпроводящее соединение с более высокими, чем у Pb, критической температурой и энергетической щелью.

Это предположение хорошо согласуется с имеющимися в литературе данными. Так, в ряде работ [16–19] в тонких пленках было обнаружено существование устойчивого сверхпроводящего сплава $Pb_{70}Bi_{30}$, обычно называемого β -фазой (твердый раствор Bi в химическом соединении Pb_3Bi).

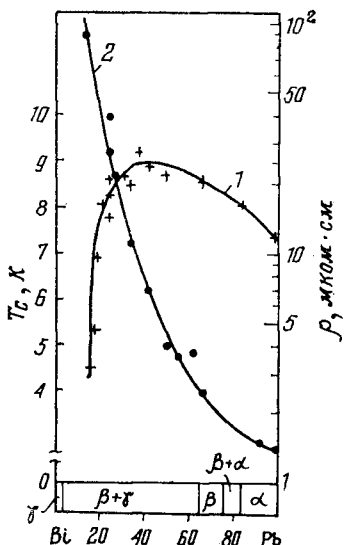


Рис. 4. Диаграмма состояний при температурах ниже 400 К, критическая температура (1) и удельное остаточное сопротивление (2) системы Pb—Bi (α — твердый раствор Bi в Pb; β — устойчивый сплав — твердый раствор Bi в химическом соединении Pb_3Bi (имеет плотноупакованную гексагональную структуру); γ — твердый раствор Pb в Bi).

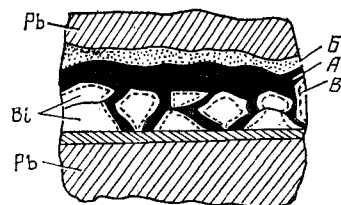
Рис. 5. Модель структуры Pb—I—Bi—Pb:

А — β -фаза, получающаяся при проникновении Pb по границам зерен Bi; Б — эвтектика $\alpha + \beta$, переходная область между α - и β -фазой; В — эвтектика $\beta + \gamma$, переходная область между β - и γ -фазой.

Как следует из приведенной в нижней части рис. 4 диаграммы [20, с. 198–211], область существования этого сплава довольно узкая, а при увеличении концентрации висмута или свинца β -фаза образует с ними эвтектики. На этом же рисунке приведены полученные нами зависимости критической температуры и остаточного удельного сопротивления системы Pb—Bi. Хорошо видно, что критическая температура пленки из β -фазы равна 8,5 К, что больше, чем у Pb, и соответствует энергетической щели $\Delta_\beta/e \approx \approx 1,65$ мв. С другой стороны, положение суммарной щелевой особенности на ВАХ исследуемых нами сэндвичей (2,9 мв) не изменялось более чем на 0,1 мв при варьировании в широких пределах толщины напыляемых пленок и скоростей их напыления, что дает основания идентифицировать ее с особенностью $(\Delta_{Pb} < \Delta_\beta)/e$.

Единственная гипотеза о микроструктуре сэндвича, которая может объяснить такую структуру ВАХ, заключается в том, что Pb из верхнего слоя дифундирует в пленку Bi (скорее всего, по границам зерен этой пленки), образуя прослойки β -фазы, с параметром щели $\Delta_\beta/e = (1,65 \pm 0,06)$ мв (рис. 5). С уменьшением толщины пленки Bi удельный вес тока по β -фазе увеличивается, обеспечивая увеличение критического тока и величины особенностей при напряжениях 0,4 и 2,9 мв (см. рис. 2 и 3).

Предложенная модель может объяснить и пару близких особенностей при напряжении $V \approx 1,2$ мв $\approx \Delta_{Pb}/e$. Как показали наши измерения T_c и ρ системы Pb—Bi (см. рис. 4), уже малые ($\sim 15\%$) концентрации Pb в Bi делают материал сверхпроводником с критической температурой, рав-



ной нескольким градусам Кельвина. Естественно считать, что такие концентрации Pb существуют, по крайней мере, в тех частях зерен Bi, которые примыкают к прослойкам β -фазы. Вследствие этого в спектре возбуждений Bi появляется энергетическая щель величиной $0,1\text{--}0,2$ мв. Это и приводит к наблюдаемой паре особенностей при $V \approx (\Delta_{\text{Pb}} \pm \Delta_{\text{Bi}})/e$.

На основании такой картины можно было предположить, что при напылении β -фазы с небольшим избытком Bi в качестве верхнего электрода сплавление его с Bi будет уменьшаться.

3.2. Сэндвичи Pb—I—Bi— β

Образцы первой серии этих сэндвичей были изготовлены с толщиной прослойки Bi около 180 нм. В отличие от сэндвичей со свинцовым верхним электродом, при такой же толщине Bi сверхток отсутствовал. Это свидетельствовало об уменьшении сплавления верхнего электрода с Bi.

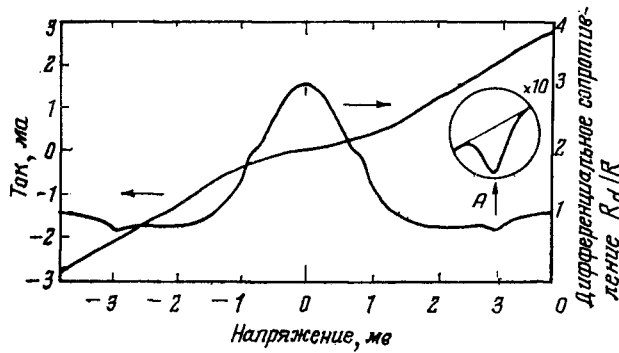


Рис. 6. ВАХ и $R_d(V)$ структуры Pb—I—Bi— β (образец СС3), $d = (90 \pm 10)$ нм, $I_c = 50 \pm 5$ мка. Щелевая особенность: $A = (\Delta_\beta + \Delta_{\text{Pb}})/e \approx 2,9$ мв.

Вторая серия была изготовлена с толщиной прослойки висмута ≈ 80 нм. ВАХ и зависимость $R_d(V)$ этих сэндвичей показаны на рис. 6. Из графика $R_d(V)$ видно, что небольшая щелевая особенность суммарной щели $\Delta_{\text{Pb}} < \Delta_\beta$ все-таки имеется, что свидетельствует о слабом проникновении β -фазы через Bi до окисного слоя.

Оценку вклада областей β -фазы в сверхток структуры можно провести следующим методом обработки зависимости $R_d(V)$. Известно [21], что при температурах, не близких к критической, критический ток туннельного перехода SIS не превышает скачок δI квазичастичного тока при $V = (\Delta_1 + \Delta_2)/e$. Поэтому

$$I_{c\beta} \leq \delta I|_{V=(\Delta_1+\Delta_2)/e} = \int R_d^{-1}(V) dV, \quad (4)$$

где $I_{c\beta}$ — критический ток суммарного туннельного перехода S/ β с электродами из Pb и β -фазы, а интеграл берется по окрестности точки $V = (\Delta_{\text{Pb}} + \Delta_\beta)/e$. Можно убедиться в том, что ток через β -фазу не превышает 15% критического тока SINS сэндвича.

Таким образом, нам удалось добиться того, что ток, связанный с эффектом близости β —Bi, стал преобладающим. После этого были изготовлены шесть серий образцов с толщиной прослойки Bi от 120 до 40 нм. Во всех образцах вклад β -фазы в критический ток не превышал 20%, а зависимость критического тока от магнитного поля имела дифракционный характер, что свидетельствовало о наличии однородного окисного слоя без закороток и об отсутствии эффекта самоограничения сверхтока. Последнее позволяло считать плотность критического тока пропорциональной полному критическому току структуры.

Зависимость $V_c(d)$ для сэндвичей Pb—I—Bi— β , показанная на рис. 7, имеет экспоненциальный характер. Обработка этого графика позволила определить значение длины когерентности в тонких пленках Bi, которое оказалось равным $30 \pm 10 \text{ нм}$.

Таким образом, длина корреляции ξ в пленках Bi оказалась значительно меньше тех оценок, которые проводились ранее на основании данных о фермиевской скорости v_F в чистых монокристаллах Bi. Возможно, что такое расхождение связано с эффектом присутствия в висмуте свинца в виде твердого раствора (γ -фазы) или со значительно меньшими значениями v_F в тонких поликристаллических пленках. Что касается экспериментальных результатов исследования тонкопленочных мостиков с перемычкой из Bi, в которых эффект Джозефсона со значительными V_c был получен при длине мостиков $0,3\text{--}0,5 \mu\text{м}$ [9, 22], то с учетом наших данных их можно объяснить образованием β -фазы по границам зерен висмута в перемычке. Простые оценки показывают, что такая гипотеза приводит к совместимым величинам критического тока и нормального сопротивления мостиков.

4. Обсуждение результатов

Проведенные исследования позволили выделить важнейшие свойства Bi как материала прослойки SNS сэндвичей.

Во-первых, пленки Bi действительно обладают аномально низкой проводимостью $\sigma \approx 5 \cdot 10^2 (\text{ом} \cdot \text{см})^{-1}$, однако при этом длина когерентности не так велика, как считалось ранее, и составляет всего $30 \pm 10 \text{ нм}$.

Во-вторых, Bi не позволяет сформировать резкую SN границу с нижним электродом из мягкого сверхпроводника. В то же время при напылении на Bi верхнего S электрода, состоящего из β -фазы с избытком Bi, может быть сформирована достаточно резкая SN граница.

В связи с такими свойствами Bi следует, что нижний электрод необходимо напылять из жесткого сверхпроводника типа Nb, что позволит сформировать резкую нижнюю SN границу. Толщина прослойки Bi не должна превосходить $40\text{--}80 \text{ нм}$. В качестве верхнего электрода можно использовать β -фазу с избытком Bi. При толщине прослойки $\sim 80 \text{ нм}$ и площади сэндвича $\sim 1 \mu\text{м}^2$ нормальное сопротивление должно составлять около 1 ом, а V_c — примерно $0,3\text{--}1 \text{ мв}$. Джозефсоновский переход с такими параметрами является близким к оптимальному.

Наши предварительные эксперименты со структурами Nb—Bi—Pb показали, что перед нанесением слоя Bi поверхность нижнего электрода необходимо очищать, даже если напыление производится без разрыва вакуума. Технология очистки поверхности в настоящее время хорошо известна, и в целом не видно препятствий на пути реализации высококачественных джозефсоновских переходов типа SNS с прослойкой из Bi при правильном выборе материалов сверхпроводящих электродов.

Авторы благодарны К. К. Лихареву, М. Ю. Куприянову, В. К. Семенову, Л. С. Кузьмину, Ю. И. Кузнецова за многочисленные дискуссии и ценные советы, способствовавшие завершению данной работы.

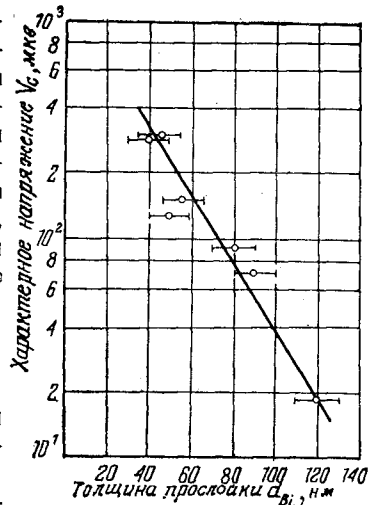


Рис. 7. Зависимость $V_c(d)$ для структур Pb—I—Bi— β (основная погрешность при определении ξ связана с погрешностью измерения толщины прослойки Bi).

Z. G. IVANOV, O. V. SNIGIRYOV, E. S. SOLDATOV, Yu. V. MASLENNIKOV,
A. V. CHERVYAKOV, and V. A. GOLUBEV

A STUDY OF JOSEPHSON SANDWICHES WITH BISMUTH INTERLAYER

Josephson sandwiches of the SNS type with bismuth as the interlayer were studied. The measured coherence length in thin Bi films is $30 \pm 10 \text{ nm}$ which is essentially less than the earlier estimates. It is shown that, choosing appropriate material for the superconducting electrodes, Josephson junctions could be produced with the characteristic voltage of order 1 mV and the normal resistance of order 1 Ohm with area of order $1 \mu\text{m}^2$.

LIST OF SYMBOLS

V_c , characteristic Josephson voltage; R , resistance of the Josephson structure in the normal state; d , film thickness; σ , conductivity; ξ , coherence length; T , temperature; T_n , melting temperature; T_p , recrystallization temperature; T_c , critical temperature; R_d , differential resistance; V , voltage; Δ , energy gap; I_c , critical current; v_F , Fermi velocity.

FIGURE CAPTIONS

Fig. 1. The studied SNS sandwiches.

Fig. 2. $I-V$ curve and $R(V)$ for a Pb—I—Bi—Pb structure with $d = (180 \pm 20) \text{ nm}$, $I_c = (100 \pm 10) \mu\text{A}$; $R = (0.65 \pm 0.05) \text{ Ohm}$. The supercurrent is depressed with a magnetic field. Gap parameters: $A - (\Delta_{\text{Pb}} - \Delta_{\text{Bi}})/e \approx 1.1 \text{ mV}$; $B - (\Delta_{\text{Pb}} + \Delta_{\text{Bi}})/e \approx 1.4 \text{ mV}$; $B - (\Delta_{\text{Pb}} + \Delta_{\text{Bi}})/e \approx 2.9 \text{ mV}$.

Fig. 3. $I-V$ curve and $R(V)$ for a Pb—I—Bi—Pb structure. $d = (80 \pm 10) \text{ nm}$; $I_c = (1 \pm 0.05) \text{ mA}$; $R = (0.5 \pm 0.05) \text{ Ohm}$; Gap parameters: $A - (\Delta_B - \Delta_{\text{Pb}})/e \approx 0.4 \text{ mV}$; $B - (\Delta_B + \Delta_{\text{Pb}})/e \approx 2.9 \text{ mV}$; $B - (\Delta_{\text{Pb}} - \Delta_{\text{Bi}})/e \approx 1 \text{ mV}$; $\Gamma - (\Delta_{\text{Pb}} + \Delta_{\text{Bi}})/e \approx 1.4 \text{ mV}$.

Fig. 4. Composite phase diagram of the Pb—Bi system for temperatures below 400 K. Critical temperature (I) and residual resistivity (2) of the Pb—Bi system. α is the Bi in Pb solid solution; β is the stable alloy—solid solution Bi in the chemical compound Pb_3Bi (this phase has close packed hexagonal structure); γ , Pb in Bi solid solution.

Fig. 5. A model of the Pb—I—Bi—Pb structure. $A - \beta$ phase arising when Pb penetrates Bi granules; B — eutectic compound $\alpha + \sigma$ an intermediate state between the α and β phases; B — eutectic compound $\sigma + \gamma$, an intermediate state between the β and γ phases.

Fig. 6. $I-V$ curve and $R_d(V)$ for a Pb—I—Bi—Pb structure with $d = (90 \pm 10) \text{ nm}$ and $I_c = 50 \pm 5 \mu\text{A}$. Gap parameter: $A - (\Delta_B + \Delta_{\text{Pb}})/e \approx 2.9 \text{ mV}$.

Fig. 7. Characteristic voltage $V_c = I_c/R$ as a function of the interlayer thickness d for Pb—I—Bi— β structures. The main contribution to the experimental error is due to the interlayer thickness measurement error.

СПИСОК ЛИТЕРАТУРЫ

- Лихарев К. К. Сверхпроводящие слабые связи; стационарные процессы.— УФН 1979, 127, вып. 2, с. 185—220.
- Clarke J. Supercurrent in Pb—Bi sandwiches.— Proc. Roy. Soc. A, 1969, 308, N 1495, p. 447—471.
- Silicon-barrier Josephson junction in coplanar and sandwiches configuration /Sheftel M., Maan—Sango J., Raley N., Urich B. T., Van—Duzer T. IEEE Trans. Magn., 1977, 13, N 1, p. 862—865.
- Hu E. L., Jackel L. D. Erwirth R. W. Adjustable tunneling transmission for Josephson junctions with Sn—Ge barriers — J. de phys., 1978, 39, N 8, p. C6—1238—1239.

5. *Лихарев К. К.* Соотношение $J_S(\phi)$ для SNS мостиков переменной толщины.—
Письма в ЖТФ, 1976, 2, № 1, с. 29—34.
- §6. Boundary conditions for the Usadel equations and properties of dirty SNS sandwiches
Иванов З. Г., Куприянов М. Ю., Лихарев К. К., Снигирев О. В.—J. de Phys., 1978,
39, N 8, p. C6-556—557.
7. Граничные условия для уравнений Эйленбергера и Узаделя и свойства «грязных»
SNS сэндвичей/*Иванов З. Г., Куприянов М. Ю., Лихарев К. К., Мериакри С. В.,
Снигирев О. В.*—ФНТ, 1981, 7, № 5, с. 560—574.
8. Особенности температурной зависимости сопротивления тонких пленок висмута
Комник Ю. Ф., Бухштаб Е. И., Никитин Ю. В., Андреевский В. В.—ЖЭТФ,
1971, 60, вып. 2, с. 669—687.
9. Semimetal barrier planar Josephson junctions/*Ohta H., Feldman M. J., Parrish P. T.,
Chiao R. Y.* Rev. Phys. Appl., 1974, 9, N 1, 187—190.
10. *Комник Ю. Ф.*; Физика металлических пленок; М.: Атомиздат, 1979. 262 с.
11. Эллиот Р. Структура двойных сплавов. М.: Атомиздат, 1979. 454 с.
12. *Clarke J.* Finite-voltage behavior of Pb—Cu—Pb junctions.—Phys. Rev. B, 1971,
4, N 9, p. 2963—2977.
13. *Майсэлл Л., Гленг Р.* Технология тонких пленок. Т. 2. М.: Сов. радио, 1977.
768 с.
14. *Greenspoon S., Smith H. J.* Study of the superconducting proximity effects by Josephson tunneling.—Canad. J. Phys., 1971, 49, N 10, p. 1350—1360.
15. *Wilson J. A., Chaikin P. M.* Tunneling investigations of Zn—Pb proximity sandwiches.—J. Low Temp. Phys., 1979, 35, N 1/2, p. 135—146.
16. *Adler J. G., Ng S. Q.* A study of superconductivity in Pb—Bi alloys using electron tunneling technique.—Canad. J. Phys., 1975, 43, N 4, p. 594—604.
17. *Бородай Б. И., Зильберман Л. А., Свищунов В. М.* Исследование многофазных немагнитных систем методом электронного туннелирования.—В кн.: Материалы 20-го Всесоюз. совещ. по физике низких температур. М., 1979, ч. 3, с. 72—74.
18. *Огрин Ю. Ф.* Низкотемпературные тонкопленочные реакции в структуре Pb—Bi.—Письма в ЖТФ, 1980, 6, № 7, с. 435—439.
19. *Dynes R. C., Rowell J. M.* Influence of electron-per-atom ratio and phonon frequencies on the superconducting transition temperature of lead alloys.—Phys. Rev. B, 1975, 11, N 5, p. 1884—1894.
20. *Вол А. Е.* Строение и свойства двойных металлических систем. Т.2. М.: Физматгиз, 1962. 982 с.
21. О знаке интерференционной компоненты тока в сверхпроводящих туннельных переходах/*Зорин А. Б., Куллик И. О., Лихарев К. К., Шриффер Дж. Р.*—ФНТ,
1979, 5, № 10, с. 1138—1157.
22. Высокоомные сверхпроводящие мостики с перемычкой из висмута/*Гудков А. А.,
Лихарев К. К., Снигирев О. В., Солдатов Е. С., Тинчев С. С., Ханин В. В.*—
Письма в ЖТФ, 1979, 6, № 19, с. 1206—1211.

Московский государственный
университет им. М. В. Ломоносова

Поступила в редакцию
22 января 1981 г.